

クビレミドロ分布域内における滞筋の変化状況

クビレミドロ分布域内における溇筋の変化状況

衛星画像から判別した溇筋について、全体の延長合計並びに近年溇筋が目立つ場所の延長（下図黄枠線①～③内の延長合計）を算出し、衛星画像の撮影時期ごとに整理を行った。

衛星画像から判別した撮影時期別の溇筋延長を図 2 に、近年溇筋が目立つ場所における溇筋延長の全体に占める割合を図 3 に示す。なお、近年溇筋が目立つ場所における溇筋の出現状況については、衛星画像ごとに撮影時間帯が異なるなど、条件が異なることを考慮し、衛星画像の範囲全体での溇筋延長の合計に対する近年溇筋が目立つ場所の溇筋延長の占める割合で比較を行った。

近年溇筋が目立つ場所では、溇筋延長の全体に占める割合が増加傾向にある。

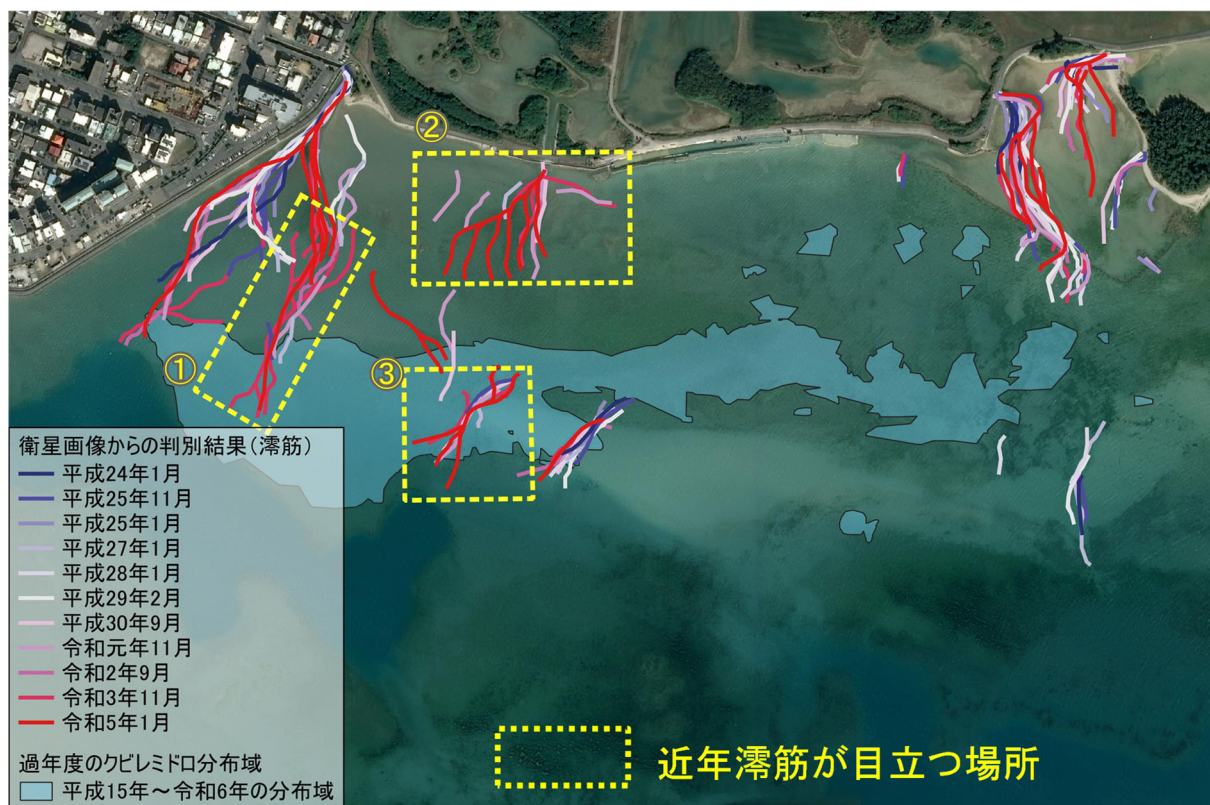


図 1 クビレミドロ分布域周辺における溇筋の分布状況

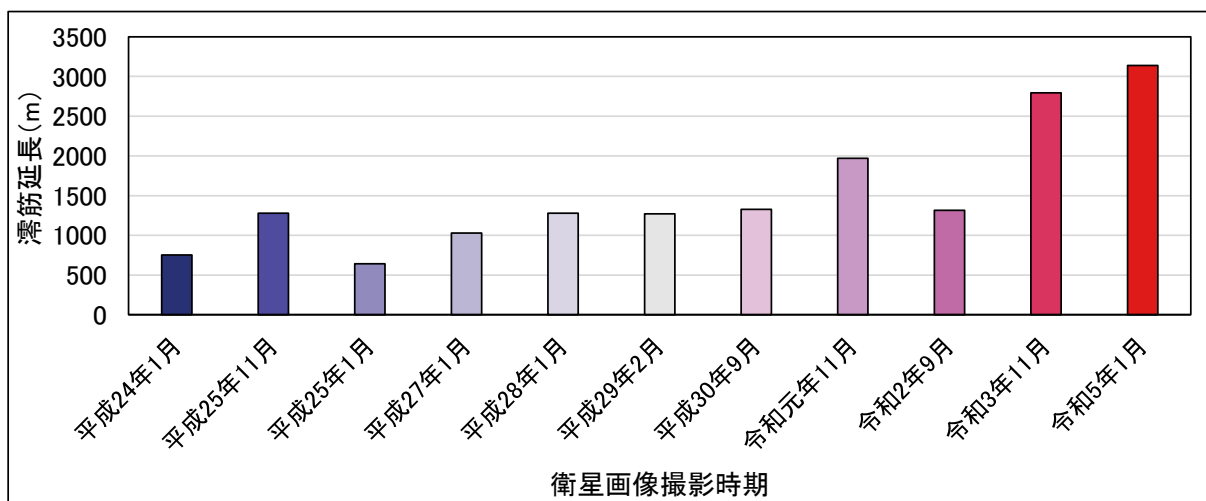


図 2 衛星画像から判別した撮影時期別の滯筋延長

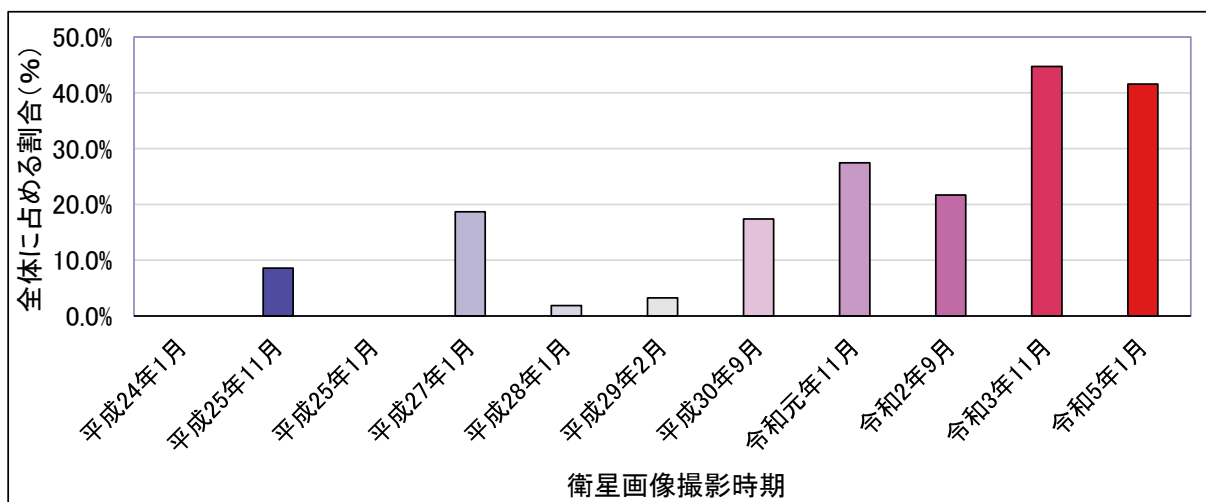
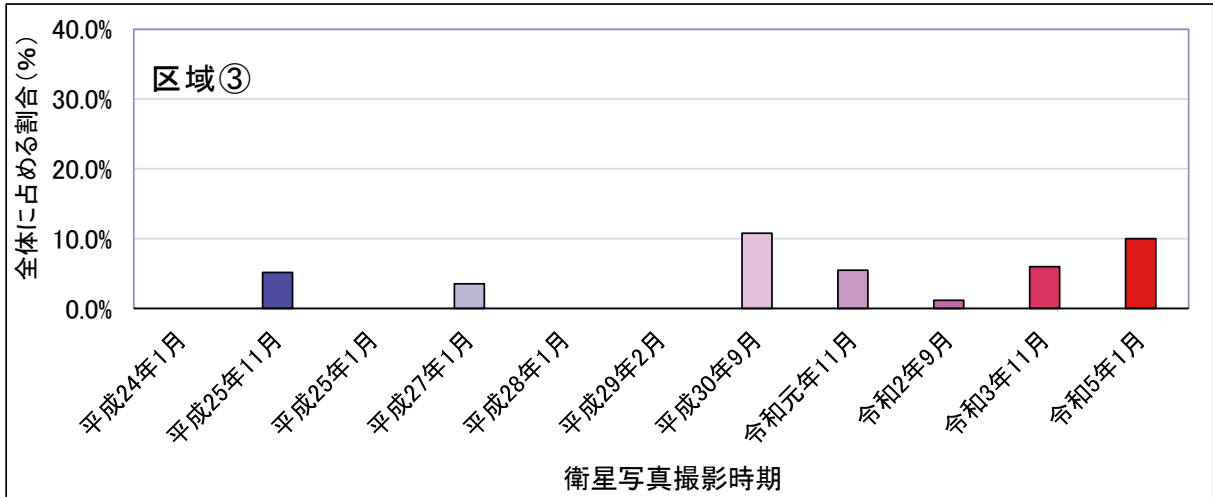
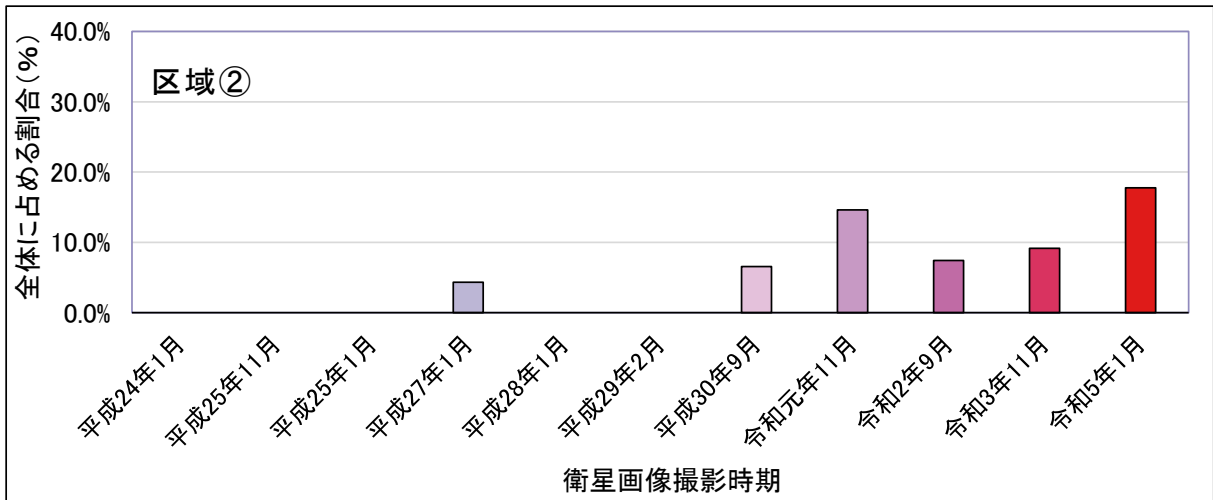
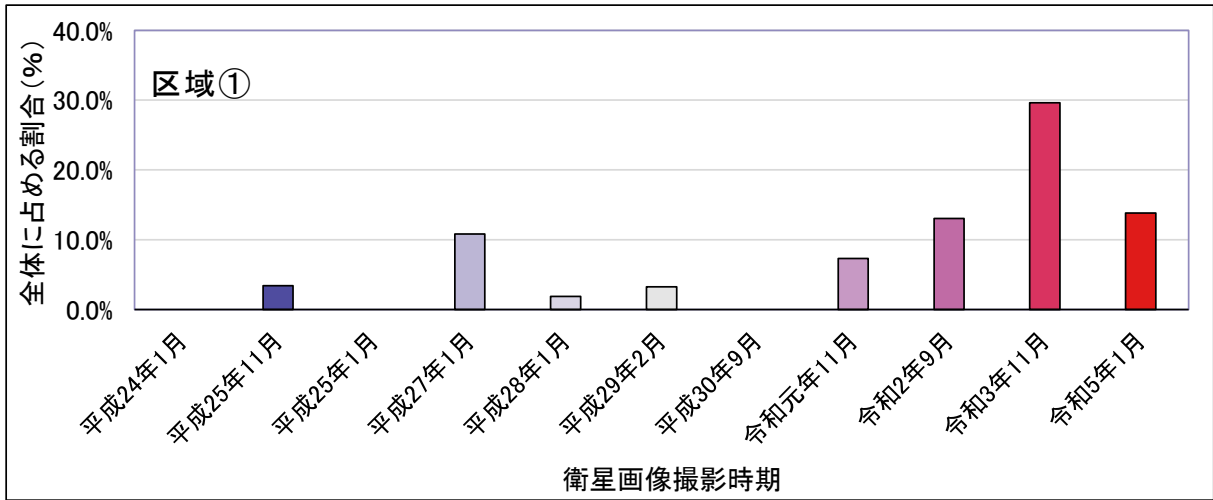


図 3 近年滯筋が目立つ場所における滯筋延長の全体に占める割合



注) 区域の番号は図 1 中の番号に対応する。

図 4 (参考) 区域別の濡筋割合の変化状況

